

Analyses statistiques des expériences numériques

Cours 2 : Propagation des incertitudes et inférence d'événements rares

Bertrand Iooss

Polytech Nice Sophia

Décembre 2025

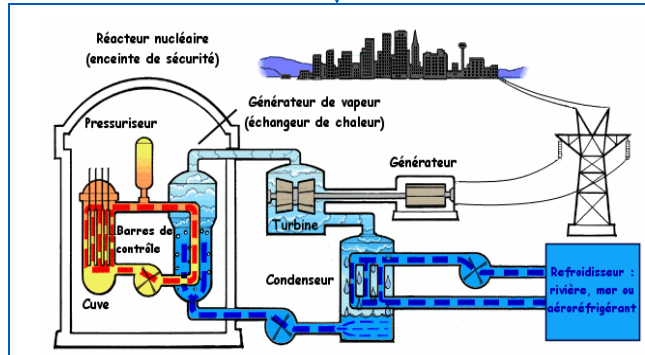


La problématique : des données aux méthodes

Ex : probabilité de défaillance d'une pompe

Un REX de défaillances « important »

STATISTIQUE CLASSIQUE
OU FREQUENTIELLE
(loi des grands nombres)

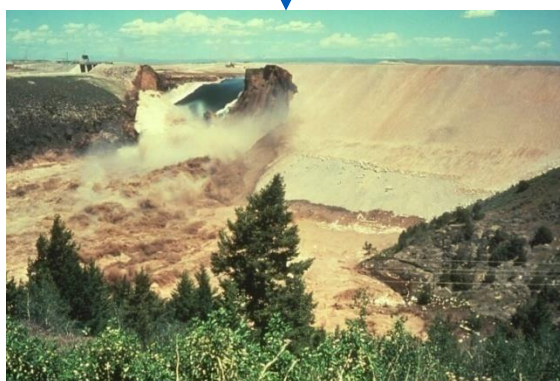


Un REX « faible » mais des avis d'expert

POINT DE VUE BAYESIEN
(lois a priori et a posteriori)

Ex : probabilité de rupture d'une tuyauterie

Ex : probabilité de rupture d'un barrage



Pas de REX de défaillance mais un modèle physique

INCERTITUDES EN SIMULATION NUMERIQUE

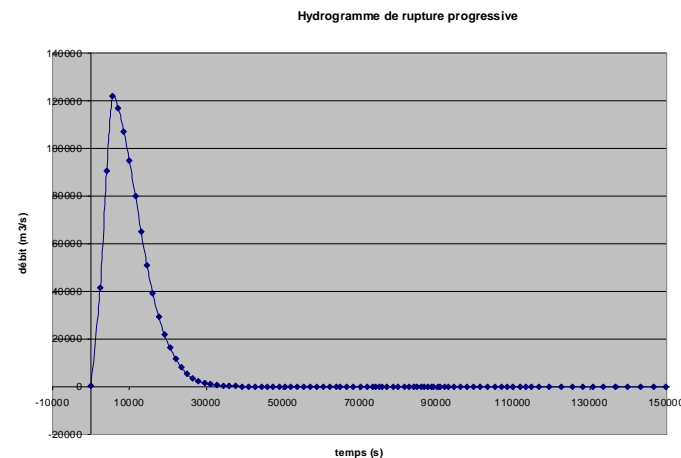
Exemple : simulation de rupture d'un barrage (1/2)

- ▶ L'objectif : évaluer la côte maximale de l'eau et le temps d'arrivée de l'onde de submersion

1. Les paramètres **fixes** : les caractéristiques du barrage (longueur/hauteur/épaisseur/volume d'eau etc.)

2. Les variables **aléatoires** :

- La rugosité du fond de la rivière (modélisée par dire d'expert)
- Les paramètres de l'hydrogramme de brèche (débit $Q_0(t)$) :
 - Temps de montée T_m
 - débit maximum Q_m



Exemple : simulation de rupture d'un barrage (2/2)

- ▶ Utilisation d'un code de calcul simulant l'hydraulique de l'inondation
- ▶ Les données de sortie ou résultats :
 1. Calcul avec valeurs pessimistes, optimistes et de référence
 2. Calculs de quantiles et de probabilités de dépassement de seuil
 3. Analyse de sensibilité : influence des variables aléatoires sur l'incertitude que l'on a sur la côte maximale de l'eau

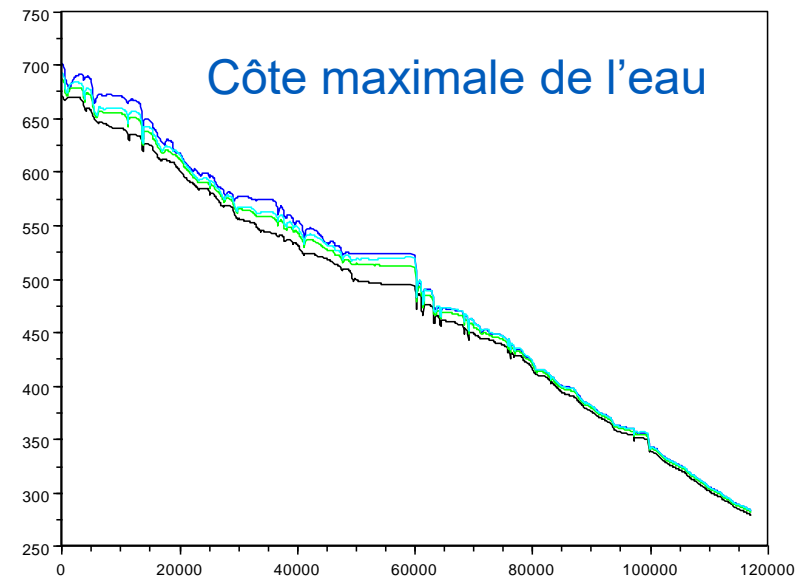
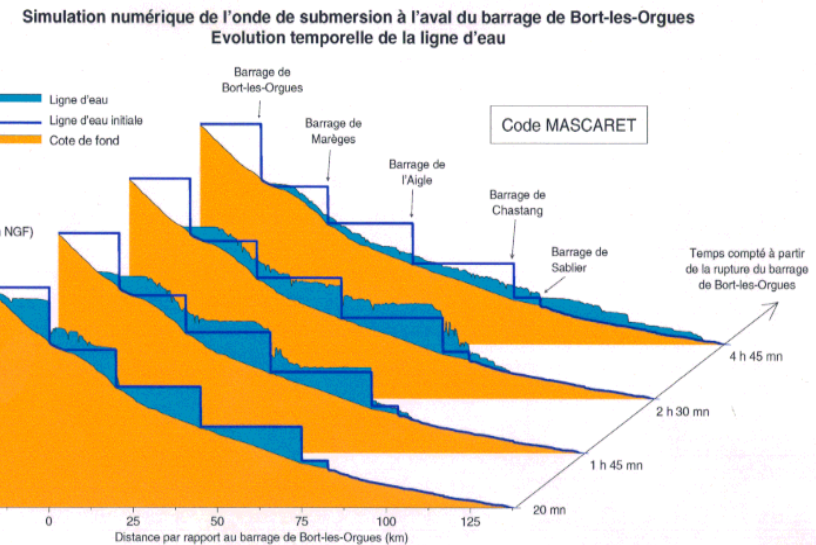
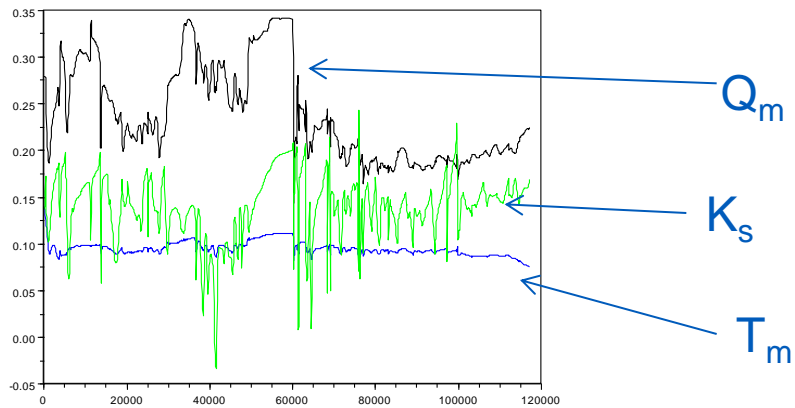
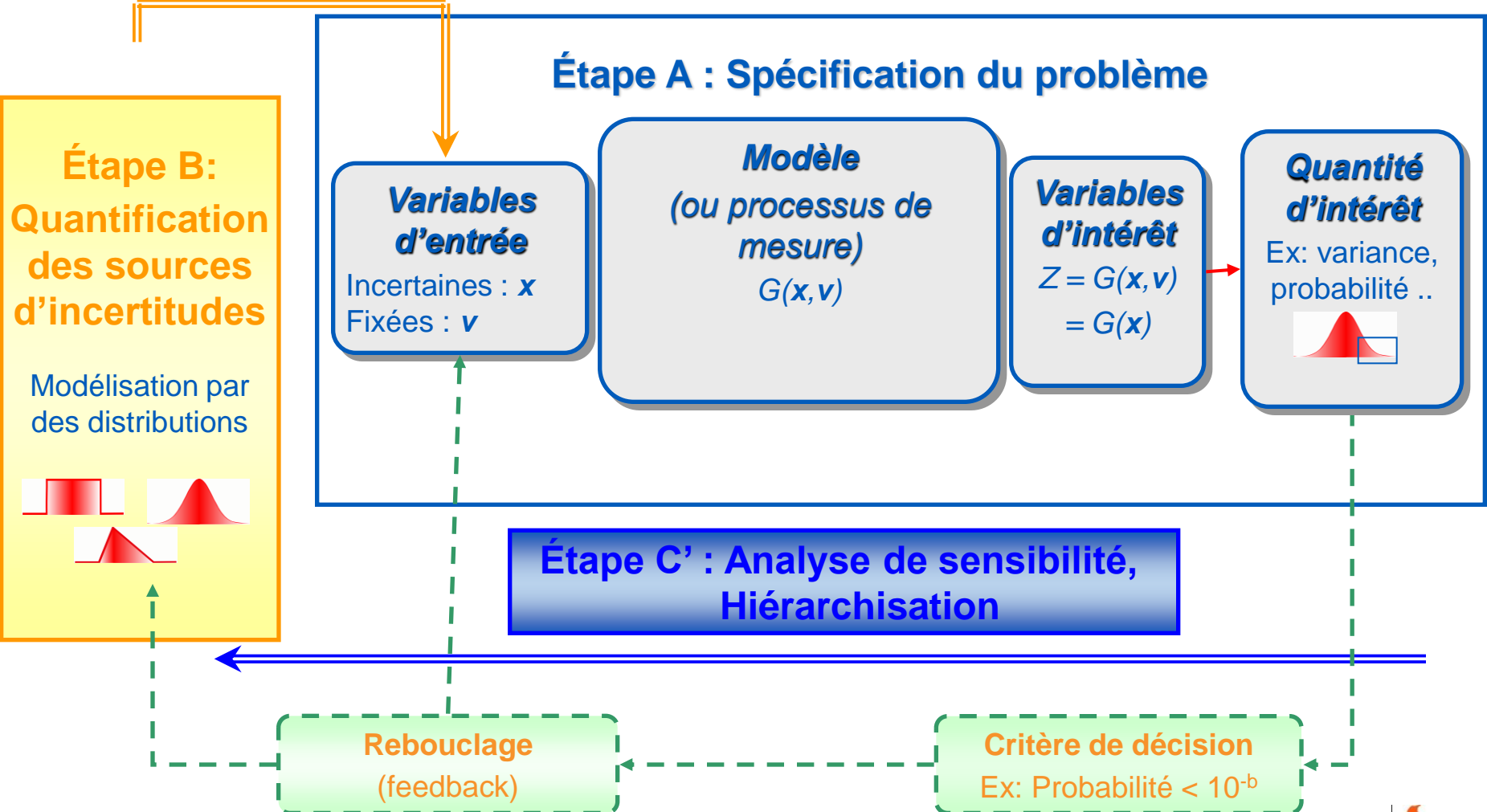


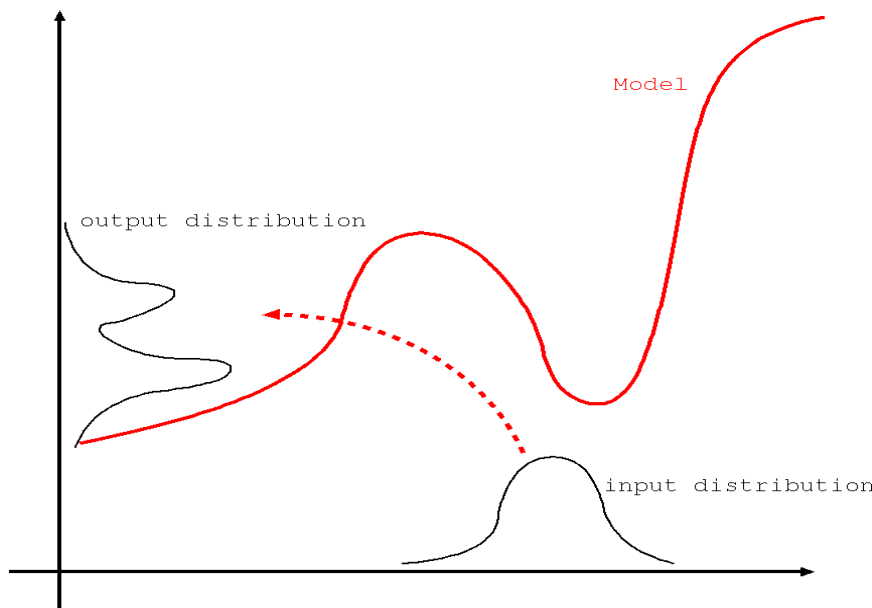
Schéma générique

Étape C : Propagation des sources d'incertitude



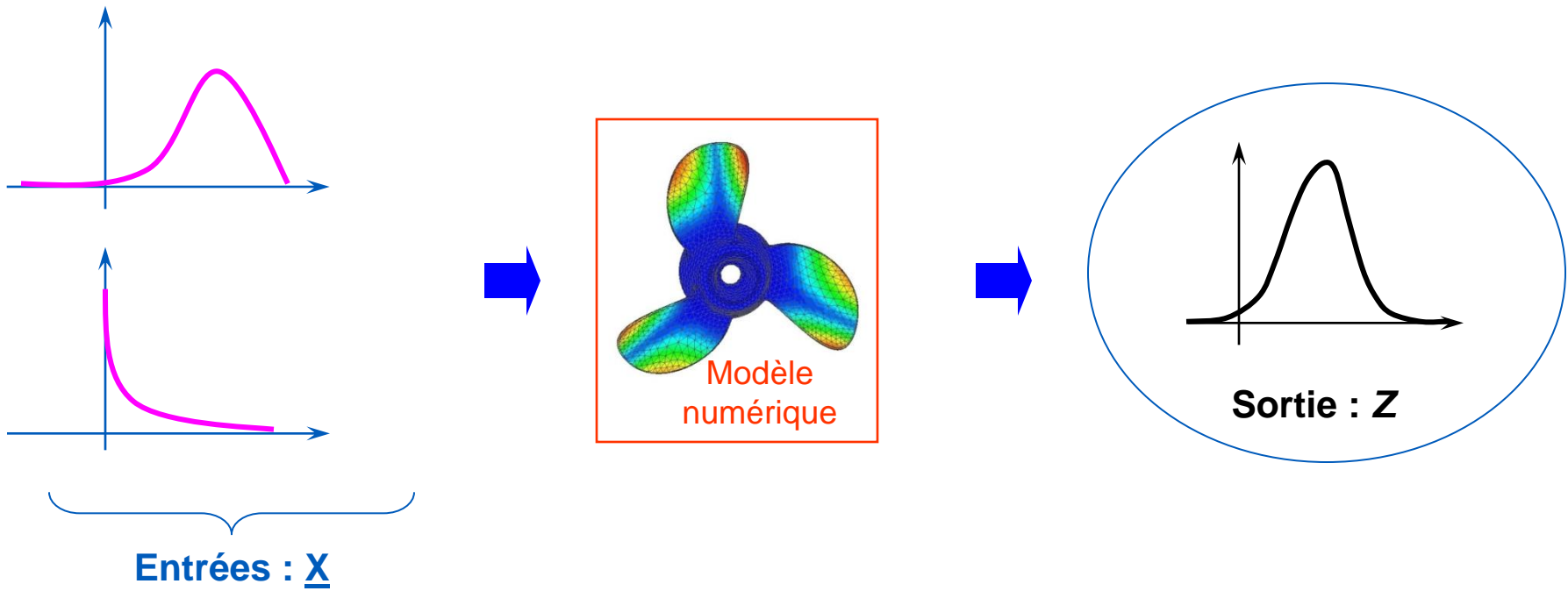
Propagation d'incertitudes

- ▶ Transfert des incertitudes de $\mathbf{X} \in \mathbb{R}^d$ vers $Z \in \mathbb{R}$, via la fonction déterministe $G(\cdot)$
- ▶ \mathbf{X} (noté aussi X ou X) est un vecteur aléatoire, avec une certaine mesure de proba
- ▶ $Z = G(\mathbf{X})$ devient un vecteur aléatoire, avec une mesure de proba à déterminer

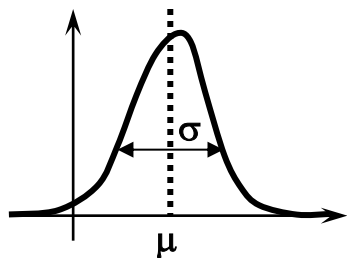


- Problème conceptuellement « simple » mais (parfois) de mise en œuvre complexe
- Le choix de la méthode dépend très fortement de la « quantité d'intérêt » de l'étude
- ... d'où l'importance de l'étape A, peu mathématique mais essentielle en pratique

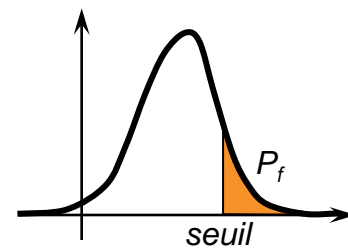
Etape A : la quantité d'intérêt (1/2)



Qu'est ce qui est (vraiment) intéressant pour notre étude ?



Moyenne, médiane, variance,
(moments) de Z



Quantiles (extrêmes), probabilité de
dépassement d'un seuil fixé,
distribution complète

Etape A : la quantité d'intérêt (2/2)

► La quantité d'intérêt est liée à des enjeux décisionnels

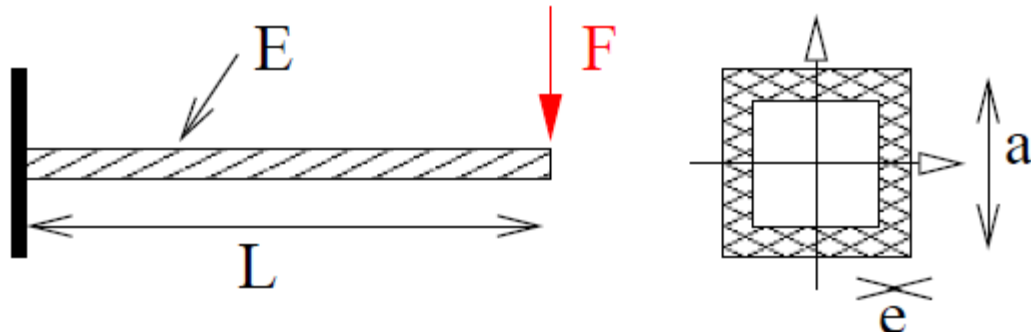
- Du point de vue de la propagation, on distingue deux types de problèmes :
 - Tendance centrale (ex. moyenne) ou dispersion (variance)
 - Exemple : métrologie
 - Quantile extrême, « probabilité de défaillance »
 - Point de vue « exploitant » → justification d'un critère de sûreté
- ➡ Méthodes analytiques (parfois envisageables)
- ➡ Méthodes numériques (optimisation, échantillonnage Monte Carlo)

Le système est dans un bon état de fonctionnement si la valeur de Z (par ex. température, hauteur d'eau) est en dessous (ou en dessus) d'un seuil de sécurité

L'évènement « défaillance » est associé au dépassement de ce seuil

Probabilité de dépassement = Probabilité de défaillance $P_f = P(Z \geq z^*)$

TP : poutre en flexion



Flèche :

$$y(E, F, L, I) = \frac{FL^3}{3EI}$$

(déplacement vertical du bout)

F : force appliquée

E : module d'Young de la poutre

L : longueur de la poutre

I : moment quadratique

$$I = \frac{a^4 - (a - e)^4}{12}$$

Variable	Loi	Paramètres
F	Normale	moy = 30000 ; écart-type 9000
E	Triangulaire	a = 2.8e7 ; b = 4.8e7 ; c = 3.0e7
L	Uniforme	a = 250 ; b = 260
I	Triangulaire	a = 310 ; b = 450 ; c = 400

NB : les incertitudes proviennent des défauts/imprécisions dans les procédés de fabrication, dans les mesures, ...

Tendance centrale : estimation de moyenne et variance

Etape C - Cumul quadratique - Introduction

- ▶ « Cumul quadratique » : terme couramment employé par les praticiens pour désigner une méthode analytique, particulièrement simple
- Fondement : deux résultats élémentaires de calcul des probabilités
 - X_1, \dots, X_d : variables aléatoires
 - a_1, \dots, a_d : réels

$$E\left[\sum_{i=1}^d a_i X_i\right] = \sum_{i=1}^d a_i E[X_i]$$

$$\text{Var}\left[\sum_{i=1}^d a_i X_i\right] = \sum_{i=1}^d a_i^2 \text{Var}[X_i] + 2 \sum_{1 \leq i < j \leq d} a_i a_j \text{Cov}[X_i, X_j]$$

- Ces formules donnent la moyenne et la variance de $Z=G(\mathbf{X})$ si G est un modèle linéaire
- ... d'où l'idée de « linéariser » localement le modèle G par un développement de Taylor

Cumul quadratique – Mise en œuvre

Données : les valeurs moyennes des X_i : $\mu_i = \mathbb{E}[X_i]$

la matrice de covariance ou la matrice de corrélation des X_i :

$$\begin{aligned} Cov[X_i, X_j] &= \mathbb{E}[(X_i - \mu_i)(X_j - \mu_j)] \\ \rho_{ij} &= \mathbb{E}\left[\frac{X_i - \mu_i}{\sigma_i} \frac{X_j - \mu_j}{\sigma_j}\right] \end{aligned}$$

Développement de Taylor de $G(\bullet)$ au voisinage de $E(\mathbf{X})$:

$$\begin{aligned} G(\mathbf{X}) &= G(\boldsymbol{\mu}) + \sum_{i=1}^d \frac{\partial G}{\partial X_i} \Big|_{X=\boldsymbol{\mu}} (X_i - \mu_i) \\ &\quad + \frac{1}{2} \sum_{i=1}^d \sum_{j=1}^d \frac{\partial^2 G}{\partial X_i \partial X_j} \Big|_{X=\boldsymbol{\mu}} (X_i - \mu_i)(X_j - \mu_j) + o(\|\mathbf{X} - \boldsymbol{\mu}\|^2) \end{aligned}$$

En général, dans les applications le développement est d'ordre 1

Cumul quadratique – Développement d'ordre 1

Calcul de la moyenne de Z

$$E(Z) = G(\mu)$$

La moyenne de la réponse est égale, au premier ordre, à la réponse calculée aux valeurs moyennes des entrées

Calcul de la variance de Z

$$\begin{aligned} \text{Var}(Z) &= E(Z - E(Z))^2 = E\left(G(\mu) + \sum_{i=1}^d \frac{\partial G}{\partial X_i}\Big|_{X=\mu} (X_i - \mu_i) - G(\mu)\right)^2 \\ &= \sum_{i=1}^d \sum_{j=1}^d \frac{\partial G}{\partial X_i}\Big|_{X=\mu} \frac{\partial G}{\partial X_j}\Big|_{X=\mu} E[(X_i - \mu_i)(X_j - \mu_j)] \end{aligned}$$

$$\text{Var}(Z) = \sum_{i=1}^d \sum_{j=1}^d \frac{\partial G}{\partial X_i}\Big|_{X=\mu} \frac{\partial G}{\partial X_j}\Big|_{X=\mu} \rho_{ij} \sigma_i \sigma_j$$

Remarques :

- ++ Ne nécessite que moyenne et covariance de X
- A ne pas utiliser pour les modèles $G(\cdot)$ fortement non linéaires
- Ne restitue que moyenne et variance de Z => pas d'extrapolations sur la loi de Z
- ++ si X est gaussien et $G(\cdot)$ est linéaire, alors Z est gaussien

Cumul quadratique – Variables indépendantes

Calcul de la variance si les X_i sont indépendantes :

$$\text{Var}(Z) = \sum_{i=1}^d \underbrace{\left(\frac{\partial G}{\partial X_i} \Bigg|_{X=\mu} \right)^2}_{\text{Contribution de chaque variable d'entrée à l'incertitude sur la variable de sortie}} \sigma_i^2$$

Formule du « cumul quadratique »

- 
- Termes « déterministes » → composants du gradient de $G(\bullet)$
 - Termes liés à l'incertitude de la variable X_i (variance)

$$\eta_i^2 = \frac{1}{\text{Var}(Z)} \left(\frac{\partial G}{\partial X_i} \Bigg|_{X=\mu} \right)^2 \sigma_i^2$$

Indices de sensibilité (normés)

L'analyse de sensibilité est réalisée de manière directe

Etape C - Méthodes de simulation Monte Carlo

► Méthodes Monte Carlo

- Méthodes générales pour l'évaluation d'une grandeur numérique, utilisant la simulation aléatoire
- Idée de base en propagation d'incertitudes : évaluer la quantité d'intérêt, sur la base d'un échantillon aléatoire de $G(X)$

Monte Carlo – fondements (1/4)

Calcul de l'intégrale :

$$I = \int_{\mathcal{X}} h(x) f(x) dx$$

$h(\cdot)$: fonction déterministe
 X : v.a. de densité $f(x)$

$$\int_{\mathcal{X}} h(x) f(x) dx = \mathbb{E}[h(X)]$$

Formellement, c'est
l'espérance de $h(X)$.

$$x^{(1)}, x^{(2)}, \dots, x^{(n)}$$

Échantillon aléatoire i.i.d. de X

$$\hat{I} = \frac{1}{n} \sum_{i=1}^n h(x^{(i)}) \rightarrow \mathbb{E}[h(x)]$$

D'après la loi des grands
nombres, l'estimateur
Monte Carlo converge
(p.s.) vers la grandeur
recherchée

$$\hat{I} \rightarrow I$$

Estimateur Monte Carlo

Monte Carlo – fondements (2/4)

➤ Variance de l'estimateur Monte Carlo

$$\mathbb{V} \left[\frac{1}{n} \sum_{i=1}^n h(X^{(i)}) \right] = \frac{1}{n^2} n \mathbb{V}[h(X)] = \frac{1}{n} \mathbb{V}[h(X)]$$

Variance d'une somme de n v.a. i.i.d.

- La variance de $h(X)$ est estimée par son estimateur :

$$\mathbb{V}[h(X)] \approx \frac{1}{n} \sum_{i=1}^n \left(h(x^{(i)}) - \hat{I} \right)^2$$

- D'où l'expression générale pour la variance de l'estimateur MC

$$\mathbb{V}[\hat{I}] \approx \frac{1}{n^2} \sum_{i=1}^n \left(h(x^{(i)}) - \hat{I} \right)^2$$

- Notons : $\sigma_{\hat{I}}^2 = \mathbb{V}[\hat{I}]$

Monte Carlo – fondements (3/4)

► Loi asymptotique de l'estimateur

- D'après le Théorème Central Limite :

$$\frac{\sqrt{n}}{\sigma_{h(X)}} (\hat{I} - I) \sim \mathcal{N}(0, 1)$$

Convergence asymptotique
de la loi de l'estimateur vers
une loi normale

■ avec $\sigma_{h(X)} = \sqrt{\mathbb{V}[h(X)]}$

- D'où les intervalles de confiance pour l'erreur Monte Carlo :

$$\epsilon_n = \hat{I} - I$$

$$\epsilon_n \in [-q_{(1-\alpha/2)} \cdot \sigma_{\hat{I}}, q_{(1-\alpha/2)} \cdot \sigma_{\hat{I}}]$$

Quantiles de la loi norm. standard

Erreur Monte Carlo

Intervalle de confiance de
niveau $1-\alpha$

$$\sigma_{\hat{I}} = \frac{\sigma_{h(X)}}{\sqrt{n}}$$

Monte Carlo – fondements (4/4)

- ▶ La vitesse de convergence est de l'ordre de $1/\sqrt{n}$
 - par ex. multiplier par 100 le nombre n de tirages permet de diviser par 10 l'écart type de l'erreur
 - convergence relativement lente mais
 - Indépendante de la dimension de \mathbf{X}
 - Indépendante de la forme de la fonction $h(\cdot)$, sous des conditions de régularité assez larges
 - Estimateur non biaisé
 - La précision dépend uniquement de n (et donc du temps de calcul)
- ▶ La vitesse de convergence peut être pénalisante dans certain cas (notamment pour estimer des quantiles ou des probabilités de défaillance)

Monte Carlo et propagation d'incertitudes

► Revenons à la propagation d'incertitudes de X à $Z=G(X)$

$x^{(1)}, x^{(2)}, \dots, x^{(n)}$ ← n-échantillon i.i.d. de X

► Estimation Monte Carlo de moyenne et variance de Z :

$$\mathbb{E}[G(X)] \approx \frac{1}{n} \sum_{i=1}^n G(x^{(i)})$$

$$\mathbb{V}[G(X)] \approx \frac{1}{n} \sum_{i=1}^n \left[G(x^{(i)}) - \frac{1}{n} \sum_{i=1}^n G(x^{(i)}) \right]^2$$

► Les moments de Z sont estimés par les moments empiriques

Exemple : propagation d'incertitudes dans un calcul thermique du stockage de déchets radioactifs (1/3)

[EDF R&D/SINETICS – Lefebvre, Barate, Leroyer]

- ▶ L'Andra impose une **contrainte de température maximale** de 100°C sur l'argile, diminuée de 10°C pour cause « d'incertitudes »
- ▶ **Problème** : ces 10°C de marges sont-ils pertinents ?
- ▶ **Solution** : réaliser des calculs de propagation d'incertitudes dans un calcul de thermique du stockage des déchets de Haute-Activité et à Vie Longue

- Variable d'intérêt :
 - ─ Température maximale en Barrière Géologique
- Critères d'étude :
 - ─ **Tendance centrale** : moyenne et écart-type des variables d'intérêt et hiérarchisation des sources d'incertitudes
- Temps cpu pour 1 calcul de thermique :
 - ─ 10 mn sur 8 processeurs

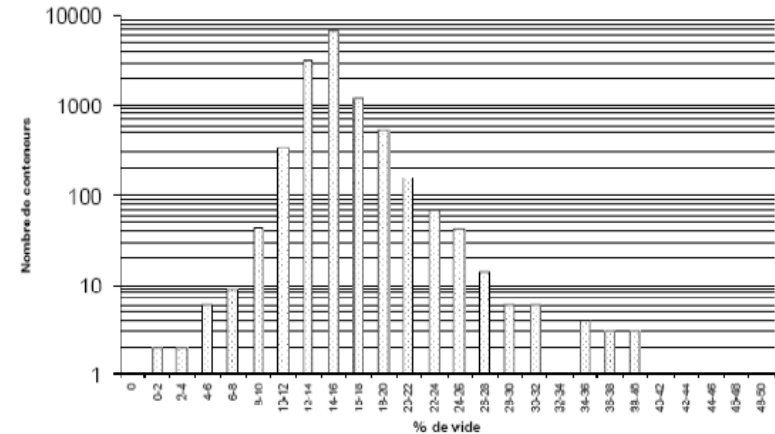
Exemple : propagation d'incertitudes dans un calcul thermique du stockage de déchets radioactifs (2/3)

► Trois familles d'incertitudes étudiées :

■ Taux de vide des colis standard de déchets vitrifiés

- Incertitude stochastique réductible

- Source : REX de production des colis à La Hague



■ Propriétés physiques du stockage

- Incertitude stochastique irréductible

- Source : dossier Andra 2005

Unité thermique	Profondeurs [m] (forage EST205)	Conductivité thermique à 20°C (W/m/K)	Chaleur spécifique à 20°C [J/kg/K]
		λ_0 (écart-type)	C_p^b (écart-type)
Sous zone 2	-473,5 à -516	1,3 \perp (0,17) 1,9 // (0,48)	1005 (70) ^c

■ Puissance thermique résiduelle des colis standard de déchets vitrifiés

- Incertitude épistémique

- Source : calculs d'incertitude sur la puissance thermique résiduelle (projet PRETING, département SINETICS)

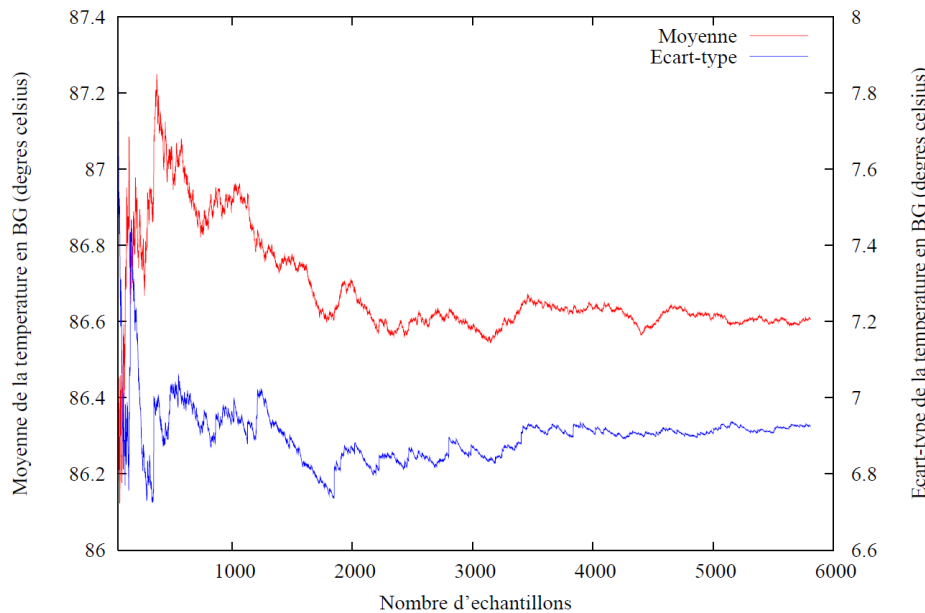
Exemple : propagation d'incertitudes dans un calcul thermique du stockage de déchets radioactifs (3/3)

▶ Résultats :

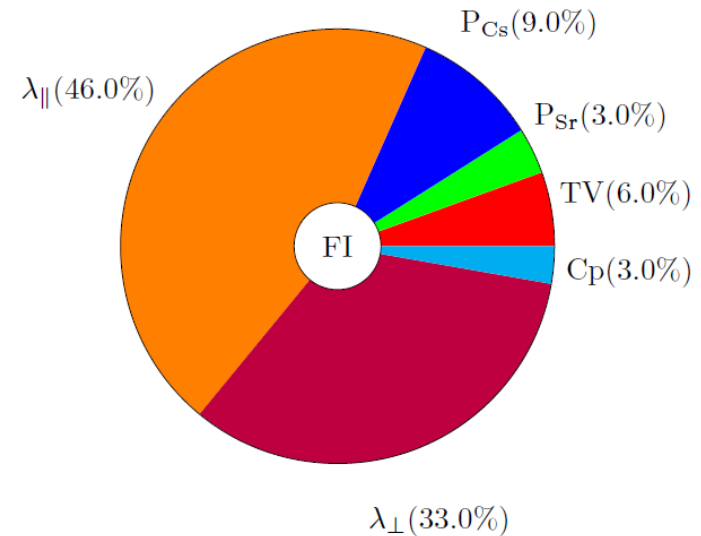
- Moyenne et écart type de la température maximale sur la barrière géologique

Nombre de calculs	Moyenne	Écart-type
5812	86.60°C	6.93°C

- On retrouve l'ordre de grandeur de 10°C de marge prise par l'Andra sur le critère thermique
- Prédominance des incertitudes sur les paramètres physiques de l'argile

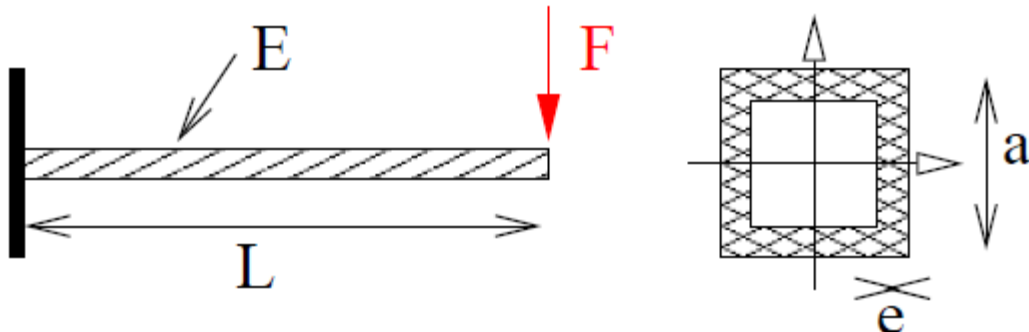


- Convergence des estimateurs Moyenne et Écart-Type



- Facteurs d'importance des incertitudes d'entrée

TP : poutre en flexion



Flèche :

$$y(E, F, L, I) = \frac{FL^3}{3EI}$$

(déplacement vertical du bout)

F : force appliquée

E : module d'Young de la poutre

L : longueur de la poutre

I : moment quadratique

$$I = \frac{a^4 - (a - e)^4}{12}$$

Variable	Loi	Paramètres
F	Normale	moy = 30000 ; écart-type 9000
E	Triangulaire	a = 2.8e7 ; b = 4.8e7 ; c = 3.0e7
L	Uniforme	a = 250 ; b = 260
I	Triangulaire	a = 310 ; b = 450 ; c = 400

NB : les incertitudes proviennent des défauts/imprécisions dans les procédés de fabrication, dans les mesures, ...

On s'intéresse à la moyenne et à la variance du déplacement de la poutre

Inférence d'évenements rares

Inférence d'événements rares

- ▶ Défaillance du système : événement $Z \leq 0$
 - écriture classique (sans perte de généralité) où le seuil est nul et le système défaillera quand la variable d'état est négative
 - défaillance si $R-S \leq 0$ (Résistance – Sollicitation)

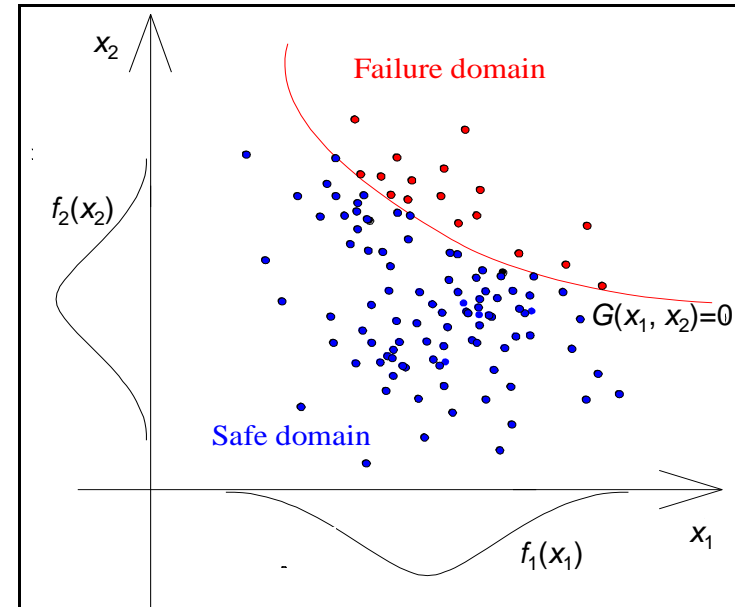
- ▶ Domaine de défaillance (« failure ») :

$$\mathcal{D}_f = \{x \in \mathcal{X} : G(x) = z \leq 0\}$$

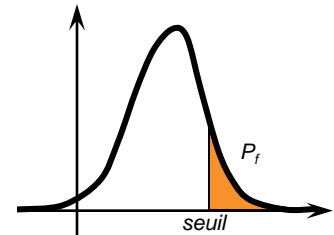
- ▶ Probabilité de défaillance :

$$p_f = \int_{\mathcal{D}_f} f(x) dx = \int_{\mathcal{X}} I_{\mathcal{D}_f}(x) f(x) dx = \mathbb{E} [I_{\mathcal{D}_f}(X)]$$

- ▶ Quantile : z_α tel que $P(Z < z_\alpha) = \alpha$

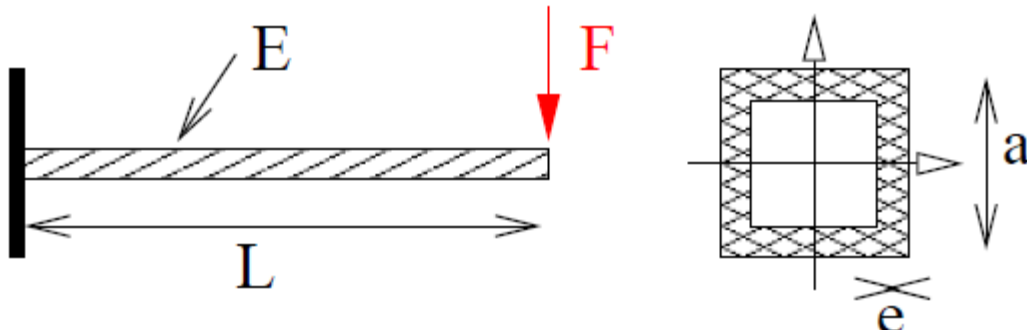


Estimation de probabilités de défaillance



- ▶ Défaillance du système : événement $Z \leq 0$
 - écriture classique (sans perte de généralité) où le seuil est nul et le système défaillera quand la variable d'état est négative
 - Défaillance si $R-S \leq 0$ (Résistance – Sollicitation)
- ▶ Domaine de défaillance : $\mathcal{D}_f = \{x \in \mathcal{X} : G(x) = z \leq 0\}$
- ▶ Probabilité de défaillance : $p_f = \int_{\mathcal{D}_f} f(x)dx = \int_{\mathcal{X}} I_{\mathcal{D}_f}(x) f(x)dx = \mathbb{E}[I_{\mathcal{D}_f}(X)]$
 - Problème : calcul de l'espérance de la v.a. $I_{\mathcal{D}_f}(x)$
- ▶ Indicateur de défaillance : $I_{\mathcal{D}_f}(x) = \mathbb{1}_{\{G(x) \leq 0\}}$

TP : poutre en flexion



Flèche :

$$y(E, F, L, I) = \frac{FL^3}{3EI}$$

(déplacement vertical du bout)

F : force appliquée

E : module d'Young de la poutre

L : longueur de la poutre

I : moment quadratique

$$I = \frac{a^4 - (a - e)^4}{12}$$

Variable	Loi	Paramètres
F	Normale	moy = 30000 ; écart-type 9000
E	Triangulaire	a = 2.8e7 ; b = 4.8e7 ; c = 3.0e7
L	Uniforme	a = 250 ; b = 260
I	Triangulaire	a = 310 ; b = 450 ; c = 400

NB : les incertitudes proviennent des défauts/imprécisions dans les procédés de fabrication, dans les mesures, ...

On s'intéresse à $p_f = P(y > 30 \text{ cm}) \Rightarrow$ probabilité de rupture de la poutre

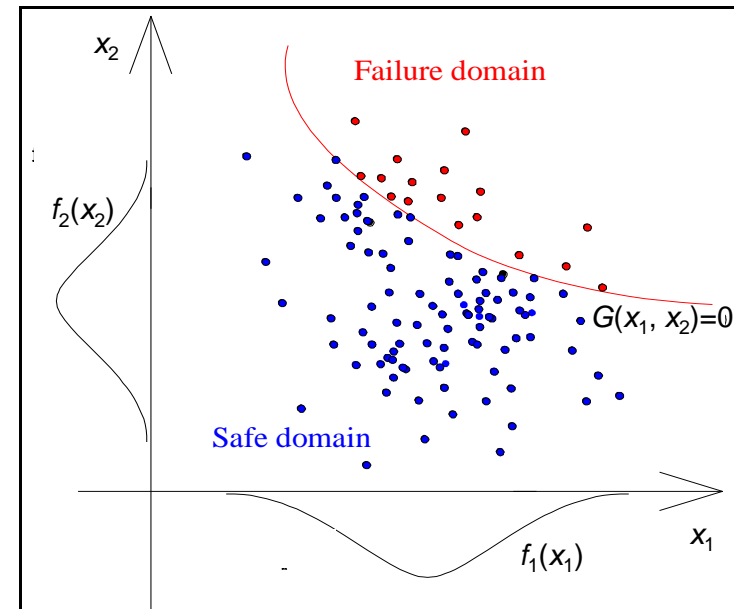
Estimateur Monte Carlo de p_f (1/3)

► Estimateur Monte Carlo (naïf) :

$$\hat{p}_f = \frac{1}{n} \sum_{i=1}^n I_{\mathcal{D}_f}(x^{(i)})$$

► Variance de l'estimateur :

$$\mathbb{V}[\hat{p}_f] = \mathbb{V}\left[\frac{1}{n} \sum_{i=1}^n I_{\mathcal{D}_f}(x^{(i)})\right] = \frac{1}{n^2} \mathbb{V}\left[\sum_{i=1}^n I_{\mathcal{D}_f}(x^{(i)})\right]$$



► Puisque : $I_{\mathcal{D}_f}(X^{(1)}), I_{\mathcal{D}_f}(X^{(2)}), \dots, I_{\mathcal{D}_f}(X^{(n)}) \sim \mathcal{B}(p_f)$ Bernouilli i.i.d.

► Alors : $\mathbb{V}[\hat{p}_f] = \frac{1}{n^2} \sum_{i=1}^n \mathbb{V}[I_{\mathcal{D}_f}(x)] = \frac{1}{n^2} n p_f (1 - p_f)$

$$\mathbb{V}[\hat{p}_f] = \frac{1}{n} p_f (1 - p_f)$$

Estimée par :

$$\mathbb{V}[\hat{p}_f] \approx \frac{1}{n} \hat{p}_f (1 - \hat{p}_f)$$

► On retrouve la convergence asymptotique vers une loi normale (propriété loi binom) ... et toutes les propriétés des estimateurs MC

Estimateur Monte Carlo de p_f (2/3)

- ▶ Décroissance en racine de n : $\sigma_{\hat{p}_f} = \frac{1}{\sqrt{n}} \sqrt{p_f(1 - p_f)}$
- ▶ Coefficient de variation : $cv = \frac{\sigma_{\hat{p}_f}}{\mathbb{E}[\hat{p}_f]} = \sqrt{\frac{p_f(1 - p_f)}{n} \frac{1}{p_f^2}} = \sqrt{\frac{1 - p_f}{n p_f}}$
- ▶ Pour des valeurs faibles de p_f : $p_f \rightarrow 0 \implies \frac{1 - p_f}{p_f} \rightarrow \frac{1}{p_f}$
 $cv \approx \sqrt{\frac{1}{n p_f}}$ « Erreur relative »,
précision de
l'estimation
- ▶ Par exemple, si on veut estimer une proba $p_f = 10^{-r}$ avec un $cv = 10\%$,
 $\sqrt{\frac{1}{n 10^{-r}}} = 10^{-1} \implies n = 10^{r+2}$ 10^{r+2} valeurs de $G(X)$, donc 10^{r+2}
appels au code G !
- « règle du pouce » de l'ingénieur

Estimateur Monte Carlo de p_f (3/3)

► Estimateur « naïf » car coûteux !

- Les temps de calcul deviennent vite prohibitifs dans la réalité industrielle
- Par ex. pour des p_f de l'ordre de $10^{-4} \rightarrow 10^6$ appels à $G(\bullet)$
- Ce qui est coûteux est l'appel à $G(\bullet)$!
 - Dans certains cas, un appel à $G(\bullet)$ peut demander des heures de temps CPU

► Plusieurs « parades »

- Utiliser des techniques MC « accélérées » (à n égal, réduction de la var.)
- Utiliser des techniques approximées (hypothèses supplémentaires) de type FORM/SORM pour une estimation rapide de p_f

Conclusions sur la propagation d'incertitudes

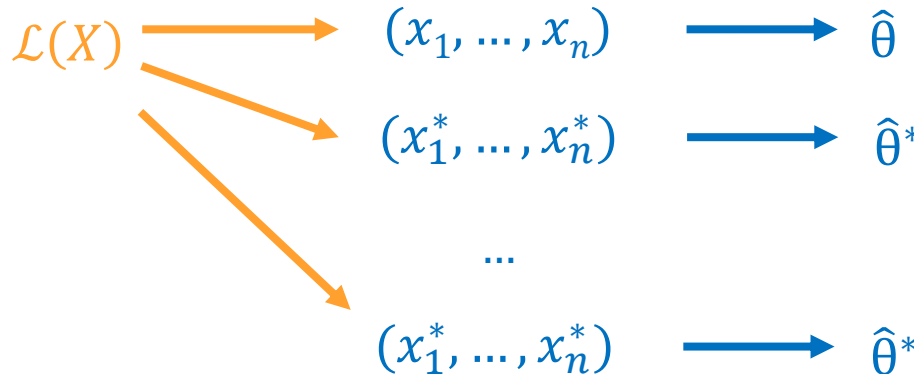
- ▶ **Enjeu :** Arbitrer entre précision de l'estimateur et coût des calculs
- ▶ Si possible, **Monte Carlo** est à privilégier : indépendant de la dimension des entrées, estimation non biaisée, fournit un intervalle de confiance sur l'estimation
Mais : coût important en nombre d'évaluations du modèle
- ▶ Si le code de calcul est trop coûteux en CPU, il existe des méthodes alternatives :
 - Méthode Monte Carlo accélérées (tirage d'importance, etc.)
 - Méthodes **quasi-Monte Carlo** (cf. cours 3) - Mais : fléau de la dimension
- Méthodes approchées :
 - Cumul quadratique (développement de Taylor) - Mais : hypothèse linéaires
 - Méthodes FORM/SORM : estimation rapide de p_f . Cette première estimation peut être utilisée pour construire un tirage d'importance
- Utilisation d'un modèle de substitution du code de calcul (cf. cours Michaël Binois) ayant un coût pratiquement nul (**métamodèle**)
 - Attention : un nouveau terme d'erreur apparaît
 - Le calage du métamodèle demande aussi un certain nombre d'appels au vrai modèle G

Annexe : Introduction au bootstrap

Incertitude EN ESTIMATION

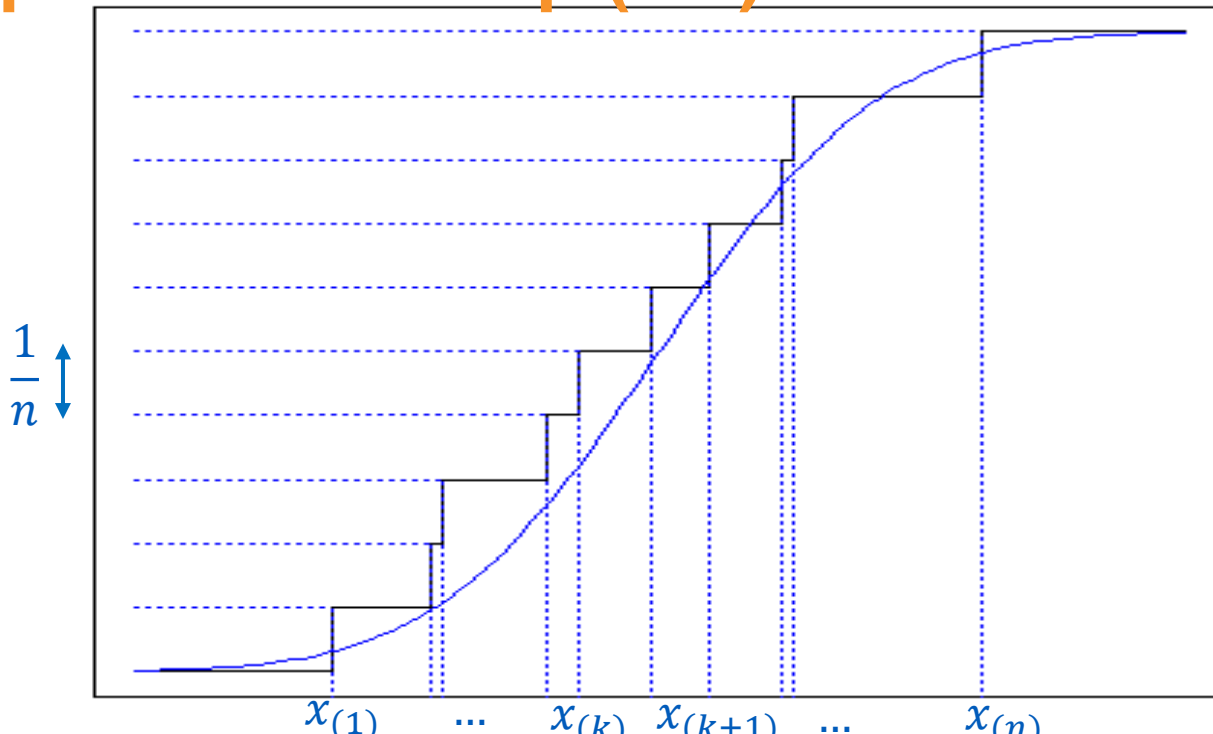
- ▶ (x_1, \dots, x_n) échantillon d'une loi inconnue, de paramètre d'intérêt θ
- ▶ Soit $\hat{\theta} = \hat{\theta}(x_1, x_2, \dots, x_n)$ un estimateur de θ (Monte-Carlo par exemple)
- ▶ But : Quantifier l'incertitude sur l'erreur d'estimation $(\hat{\theta} - \theta)$
 - Biais $b = E[(\hat{\theta} - \theta)]$
 - Variance : $v = E[(\hat{\theta} - \theta)^2]$
 - Int. de confiance : $IC_{1-\alpha} = \hat{\theta} + \left[q_{\frac{\alpha}{2}}(\theta - \hat{\theta}); q_{1-\frac{\alpha}{2}}(\theta - \hat{\theta}) \right]$
- ▶ Ces trois indicateurs dépendent de la loi $\mathcal{L}(\hat{\theta} - \theta)$, inconnue

Principe du bootstrap (1/3)



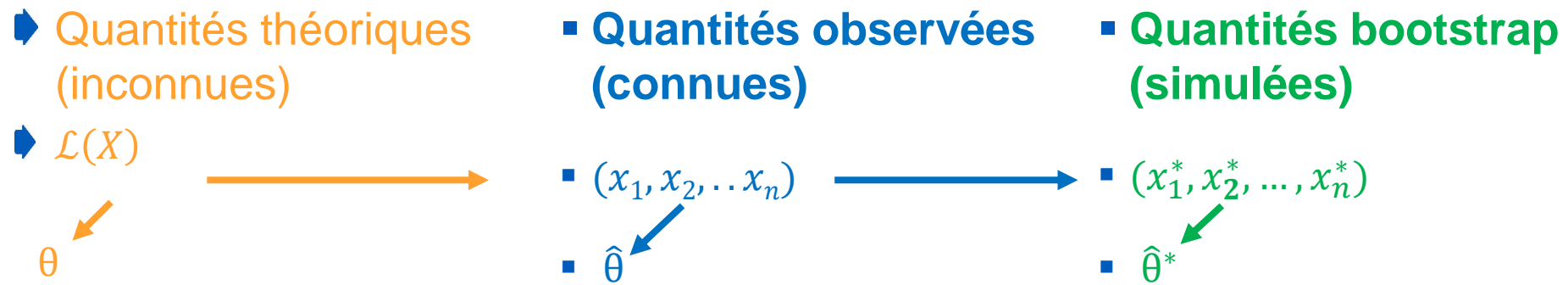
- ▶ **Idée** : Estimer les caractéristiques de la loi $\mathcal{L}(\hat{\theta} - \theta)$ par Monte-Carlo, à l'aide d'un grand nombre de tirages dans la loi de $\hat{\theta}$
- ▶ Nécessite de simuler de nouvelles valeurs possibles de $\hat{\theta}$, à l'aide des étapes suivantes :
 1. Générer un nouvel échantillon (x_1^*, \dots, x_n^*) , **de même loi** que (x_1, \dots, x_n)
 2. Ré-estimer le paramètre à l'aide du nouvel échantillon : $\hat{\theta}^* = \hat{\theta}(x_1^*, \dots, x_n^*)$
- ▶ **Question** : Comment générer (x_1^*, \dots, x_n^*) ?

Principe du bootstrap (2/3)



- ➡ Objectif : Générer (x_1^*, \dots, x_n^*) de même loi que (x_1, \dots, x_n)
- Inversion générique : Requiert la fonction de répartition $F(x) = P[X \leq x]$, inconnue
- Solution : Utiliser la fonction de répartition empirique $\hat{F}_n(x) = \frac{1}{n} \sum_{i=1}^n 1_{\{x_i \leq x\}}$
 - Revient à tirer les x_i^* uniformément avec remise parmi x_1, x_2, \dots, x_n

Principe du bootstrap (3/3)



- L'approche bootstrap consiste à :
 1. Approcher la valeur du paramètre θ par son estimateur $\hat{\theta}$
 2. Approcher la loi de l'estimateur $\hat{\theta}$ par celle de l'estimateur bootstrap $\hat{\theta}^*$
- Les grandeurs caractéristiques de $\mathcal{L}(\hat{\theta} - \theta)$ (moyenne, variance, etc) sont alors estimées par Monte-Carlo à l'aide de l'échantillon $(\hat{\theta}_b^* - \hat{\theta})_{1 \leq b \leq B}$

MISE EN OEUVRE DU BOOTSTRAP

1. Générer un échantillon bootstrap (x_1^*, \dots, x_n^*) , en tirant uniformément avec remise dans l'échantillon d'origine (x_1, x_2, \dots, x_n) :
 - Pour tout i , x_i^* est tiré au hasard parmi x_1, x_2, \dots, x_n
 - En général, (x_1^*, \dots, x_n^*) contient des doublons
 2. Ré-estimer θ à partir des (x_1^*, \dots, x_n^*) : on obtient une valeur bootstrap $\hat{\theta}^*$
 3. On répète les étapes 1. et 2. un grand nombre B de fois ; on obtient ainsi un **échantillon bootstrap** $(\hat{\theta}_1^*, \dots, \hat{\theta}_B^*)$
- ▶ On peut alors estimer l'incertitude sur l'erreur d'estimation par :
- Le **biais bootstrap** : $\hat{b}^* = E[(\hat{\theta}^* - \hat{\theta})] = \frac{1}{B} \sum_{b=1}^B (\hat{\theta}_b^* - \hat{\theta})$
 - La **variance bootstrap** : $\hat{v}^* = E[(\hat{\theta}^* - \hat{\theta})^2] = \frac{1}{B} \sum_{b=1}^B (\hat{\theta}_b^* - \hat{\theta})^2$
 - L'**int. de confiance bootstrap** : $\hat{\theta} + \left[q_{\frac{\alpha}{2}}(\hat{\theta} - \hat{\theta}^*); q_{1-\frac{\alpha}{2}}(\hat{\theta} - \hat{\theta}^*) \right] = 2\hat{\theta} - \left[\hat{\theta}_{\left(\left[B\left(1-\frac{\alpha}{2}\right)\right]\right)}^*; \hat{\theta}_{\left(\left[B\frac{\alpha}{2}\right]\right)}^* \right]$
- 

Bootstrap : avantages et limites

▪ Avantages du bootstrap :

- Méthode **simple et générique**
- S'applique à **tous les paramètres, et toutes les méthodes d'estimation**
- Ne nécessite aucune hypothèse sur la forme de la loi : méthode **non paramétrique**
- **Théoriquement fondée** : les estimateurs bootstrap sont asymptotiquement exacts

► Inconvénients :

- Peut être très **coûteux** (dépend de la méthode d'estimation)
- **Validité sujette à caution** pour les petits échantillons
- **Peu adapté aux valeurs extrêmes** : limité aux bornes de l'échantillon observé
- Nécessite un **échantillon i.i.d.**
 - Il existe des extensions dans le cas non i.i.d. (bootstrap paramétrique par ex.)

Crédits & Bibliographie

- Tutoriel « Incertitudes », JdS 2011, A. Pasanisi (EDF R&D)
- De Rocquigny, Devictor & Tarantola (eds), Uncertainty in industrial practice, Wiley, 2008
- Robert & Casella, Monte Carlo Statistical Methods, 2nd Edition, Springer, 2004
- Rubinstein, Simulation and the Monte Carlo method, Wiley, 1981
- Guide to the expression of Uncertainty in Measurements (GUM), ISO publication
- Lemaire, Fiabilité des structures. Lavoisier, 2005
- Hahn & Meeker, Statistical intervals. A guide for practitioners, Wiley-Interscience, 1991
- Morio and Balesdent, Estimation of rare event probabilities in complex aerospace and other systems, WP, 2016